

東京大学工学部 正員 西野文雄
アジア工科大学 Seng-Lip Lee

1. まえかき

断面の広がりの影響を考慮した曲線ばりの解析には、閉断面部材を取り扱った小西、小松、開断面、閉断面の両者を取り扱った倉西²⁾、深沢³⁾の研究があり、いずれも幾何学的考察によって力の釣り合い式を求めている。これら3つの研究成果には、実用上の影響はいろいろ、わずかながら差異がみられる。同一問題を変分原理を用いて有限変位の立場から基礎方程式を求めたものに事口、中井⁴⁾の研究発表がある。ここでは微小変位理論の範囲で、変分原理を用いて曲線ばりに関する基礎方程式を導いた結果を報告する。この報告の主目的は、材料力学ですでに認められている仮定のみを用い、あとは全て数学的な演算のみによって基礎方程式を導くことにあり、これによって、曲りばりの理論における仮定と、それに釣りあった基礎方程式の関係を明らかにするものである。この報告では薄肉断面で出来た円弧曲線ばりを取り扱う。基本的な仮定は(1) 断面は変形しない、(2) 薄肉断面構成板の中心面に直交し部材軸に平行な面でのせん断ひずみは無視出来る、(3) 薄肉断面構成板の中心面内でのせん断ひずみは開断面では0、閉断面ではせん断ひずみの内、道筋力の変化めと釣り合うせん断応力によるものは無視出来る、の3つである。この3つの仮定は Bernoulli-Euler の仮定を一般化したものである。

2. 一次元問題としたときの円弧曲りばりのひずみ-変位関係

右手系の円筒座標 (r, θ, z) で表わした微小変位理論によるひずみと変位との関係は次のように書かれる。

$$\epsilon_r = \frac{\partial v}{\partial r}, \quad \epsilon_\theta = \frac{\partial w}{r \partial \theta} + \frac{v}{r}, \quad \epsilon_z = \frac{\partial u}{\partial z}, \quad \gamma_{r\theta} = \frac{\partial v}{r \partial \theta} + \frac{\partial w}{\partial r} - \frac{w}{r}, \quad \gamma_{rz} = \frac{\partial u}{\partial r} + \frac{\partial v}{\partial z}, \quad \gamma_{\theta z} = \frac{\partial u}{r \partial \theta} + \frac{\partial w}{\partial z} \quad (1)$$

ここに v, w, u はそれぞれ r, θ, z 方向への変位。

仮定(1) は次のように表わされる。

$$\epsilon_r = 0, \quad \epsilon_z = 0, \quad \gamma_{rz} = 0 \quad (2)$$

(1)と(2)に代入し積みすると

$$u = u_s - (y - y_s) \beta_s, \quad v = v_s + (x - x_s) \beta_s \quad (3)$$

ここに $y = r - r_c$ (r_c は任意に選んだ z の座標の原点 C での曲率半径)、 u_s, v_s, β_s は積分定数であり、 u_s, v_s は任意の点 $S(x_s, y_s)$ での x, y 方向への変位、 β_s は断面の剛体回転角を表わす。仮定(2)と(3)を用いるために $\delta_{s\theta}, \delta_{sz}$ のかわりに薄肉中心面とそれに直交する面内のせん断ひずみ $\delta_{s\theta}, \delta_{s\theta}$ を考へる。このせん断ひずみは断面の中心面にそって取った S 座標の x, y 軸に関する方向余弦 l, m を用いて次のように表わされる。

$$\delta_{s\theta} = \frac{\partial w}{\partial s} - \frac{m}{r} w + \frac{\partial \eta}{r \partial \theta}, \quad \delta_{\theta s} = \frac{\partial w}{\partial n} - \frac{l}{r} w + \frac{\partial \eta}{r \partial \theta} \quad (4)$$

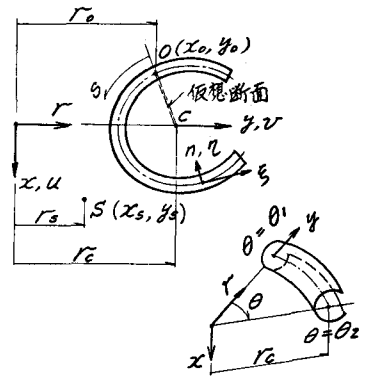
ここに n は S に直交する座標であり、 (s, n, θ) は右手系を構成する。 s, n 方向への変位を ξ, η とすると、これらは(3)と方向余弦 l, m を用いて、次のように表わされる。

$$\xi = u_s l + v_s m + \beta_s \beta_s, \quad \eta = -u_s m + v_s l + \beta_s \beta_s \quad (5)$$

$$\text{ここに } \beta_s = m(x - x_s) - l(y - y_s), \quad \beta_n = l(x - x_s) + m(y - y_s) \quad (6)$$

仮定(2)から $\delta_{\theta s} = 0$ 。これに(4)、(5)を代入して積みすると

$$w(s, n, \theta) = r w^* / r^* + (m u_s' - l v_s' - \beta_n \beta_s') n / r^* \quad (7)$$



ここに \$W^*\$ は積分定数であり、薄板中心面 (\$S, \eta=0, \theta\$) の \$\theta\$ 方向への変位を表わす。上添記号 \$*\$ は板の中心面上 (\$\eta=0\$) の量を表わし、プライムは \$\theta\$ に関する微分を表わす。

\$\theta\$ 方向への力のつり合い条件は、せん断流れ \$q_s^* = \tau_{s\theta}^*\$ (は板厚) を用いると次のように書かれる。

$$\frac{\partial q_s^*}{\partial s} + \frac{2m q_s^*}{r^*} + \frac{t}{r^*} \frac{d\sigma_{\theta\theta}^*}{d\theta} + \int_{-\frac{t}{2}}^{\frac{t}{2}} P_{\theta d} d n = 0 \quad (8)$$

\$P_{\theta d}\$ は分布してゆく外力の \$\theta\$ 方向成分。等断面部材では \$t = t(S)\$。この条件式(8)を積分すると

$$q_s^* = \left(\frac{r_1^*}{r^*}\right)^2 q_{s1}^* - \frac{1}{(r^*)^2} \int_{s_1}^s \left[r^* t \frac{d\sigma_{\theta\theta}^*}{d\theta} + (r^*)^2 \int_{-\frac{t}{2}}^{\frac{t}{2}} P_{\theta d} d n \right] ds \quad (9)$$

\$q_{s1}^*\$ は積分定数であり、\$q_{s1}^*\$, \$\gamma_{s\theta}^*\$ は任意の点 \$S=s_1\$ でのせん断流れ、曲率半径である。(9)を \$G\theta\$ で割り、仮定(3)を用いると

$$\gamma_{s\theta}^* = \frac{q_{s1}^*}{G t} \left(\frac{r_1^*}{r^*}\right)^2 \quad (10)$$

南断面では仮定(3)から \$\gamma_{s\theta} = 0\$、これは(10)式において、\$s_1\$ を自由端に選べ、\$q_{s1}^* = 0\$ となる場合に相当する。

(5)、(10)を(4)の第一式に代入して積分すると

$$W^* = r^* \left[\frac{W_0^*}{r_0^*} - \left(\frac{x^* - x_s}{r^*} - \frac{x_0^* - x_s}{r_0^*}\right) \frac{u_s'}{r_s} - \left(\frac{y^* - y_s}{r^*} - \frac{y_0^* - y_s}{r_0^*}\right) \frac{v_s'}{r_s} - \left(\int_0^s \frac{f_s^*}{(r^*)^2} ds \right) \left(\frac{u_s'}{r_s} + \beta_s'\right) + \frac{(r_1^*)^2 q_{s1}^*}{G} \int_0^s \frac{ds}{(r^*)^2} \right] \quad (11)$$

\$r_0\$ は \$S(x_0, y_0)\$ での曲率半径、下添字 0 は任意の点に選んだ \$S\$ 座標の原点 \$O\$ での値を表わす。\$W_0^*\$ は積分定数であり \$S=0, \eta=0\$ での \$W\$ の値を表わす。南断面では仮定により \$\gamma_{s\theta} = 0\$、したがって \$q_{s1}^* = 0\$。南断面では閉トーループについての \$W\$ の連続条件、すなわち \$W(S) = W(S + \oint \frac{\partial W}{\partial S} ds)\$ にこれを代入することによって

$$q_{s1}^* (r_1^*)^2 = \left(\frac{u_s'}{r_s} + \beta_s'\right) \left(\oint \frac{f_s^*}{(r^*)^2} ds / \oint \frac{ds}{(r^*)^2} \right) G \quad (12)$$

一般に任意に選んだ \$S\$ 座標の原点 \$C\$ は \$S\$ 座標上にないので、\$W\$ は \$C\$ 点で定義出来ない。(11)の積分定数を便宜上、\$C\$ 点での \$W\$ で表すために、\$C\$ 点と \$O\$ 点を仮想的な \$t=0\$ の板で結ぶ。板厚が 0 なので、このような仮想的な部材をつけたしてもはりの力学的状態にはなんら変化を及ぼさない。\$C\$ 点での \$W\$ を \$W_c\$ とすると、(11)、(12)から

$$W_0^* / r_0^* = \left\{ W_c - [x_s + (x_0^* - x_s)(r_0^*/r^*)] (u_s'/r_s) - [y_s + (y_0^* - y_s)(r_0^*/r^*)] v_s'/r_s + \Omega(s) (u_s'/r_s + \beta_s'/r_s) \right\} / r_c \quad (13)$$

ここに

$$\Omega(s) = \begin{cases} r r_s \int_0^s \frac{f_s^*}{(r^*)^2} ds & (\text{開断面}) \\ r r_s \int_0^s \frac{f_s^*}{(r^*)^2} ds - \frac{\oint \frac{f_s^*}{(r^*)^2} ds}{\oint \frac{ds}{(r^*)^2}} \int_0^s \frac{ds}{(r^*)^2} & (\text{閉断面}) \end{cases} \quad (14)$$

\$S_c\$ は \$C\$ 点の \$S\$ 座標、添字 \$C\$ は \$C\$ 点での量を表わす。(11)を(13)に代入しさらに(12)に代入することによって変位 \$W\$ は最終的に次のように表わされる。

$$W = W_c + (W_c - u_s' x_s / r_s - v_s' y_s / r_s) (y/r_c) - u_s' x/r_s - v_s' y/r_s - \Omega(s) - \Omega(s_c) + r_s p_n \eta / r^* (u_s'/r_s + \beta_s'/r_s) \quad (15)$$

(15)は仮定(1)~(3)のもとで可能な変位場を表わしている。(15)を(1)に代入すると、この仮定のもとでの一次元のひずみ-変位関係が次のように表わされる。

$$\epsilon_{\theta\theta} = [W_c + v_s - \beta_s x_s + (W_c - u_s' x_s / r_s - v_s' y_s) - x (u_s'/r_s - \beta_s') - \Omega(s) - \Omega(s_c) + r_s p_n \eta / r^*] (u_s'/r_s + \beta_s'/r_s) / r \quad (16)$$

$$\gamma_{s\theta} = - \left\{ (1 + \nu r^*) (1 + p_n \eta / r^*) \eta - (\nu r^*)^2 \left[\oint \frac{f_s^*}{(r^*)^2} ds / \oint \frac{ds}{(r^*)^2} \right] / (r^*)^2 \right\} (r_s / r) (u_s'/r_s + \beta_s'/r_s) \quad (17)$$

残りの4つのひずみ成分は全て 0 である。

3. つり合い式と境界条件

ひずみ成分のうち \$\epsilon_{\theta\theta}\$, \$\gamma_{s\theta}\$ 以外は全て 0 であるゆえ、仮想仕事式は次のように書かれる。

$$\int_{\theta_1}^{\theta_2} \int_A (\sigma_{\theta\theta} \delta \epsilon_{\theta\theta} + \tau_{s\theta} \delta \gamma_{s\theta}) r dA d\theta = \int_{\theta_1}^{\theta_2} \int_A (P_{\theta d} \delta u + P_{\theta d} \delta v + P_{\theta d} \delta w) r dA d\theta + \left[\int_A \bar{\sigma}_{\theta\theta} \delta \epsilon_{\theta\theta} + \bar{\tau}_{s\theta} \delta \gamma_{s\theta} \right]_{\theta_1}^{\theta_2} dA \quad (18)$$

\$P_{\theta d}\$, \$P_{\theta d}\$, \$P_{\theta d}\$ は単位面積、角度に亘り分布外力の \$x, y, \theta\$ 方向成分、上付きの横棒は両端 \$\theta_1, \theta_2\$ で断面に分布してゆく外力を示す。(3)、(5)、(10)、(17)を用いて(18)を変形することにより、次のつり合い式、と境界条件式が求まる。

つり合い式

$$-N' - \frac{1}{r_c} M_x' = P_0 + \frac{m_x}{r_c}, \quad -\frac{x_s}{r_c r_s} M_x'' - \frac{1}{r_s} M_y'' - \frac{1}{r_s^2} M_\beta'' - \frac{1}{r_s} T_{sv}'' = P_x + \frac{x_s}{r_c r_s} m_x' + \frac{1}{r_s} m_y' + \frac{1}{r_s^2} m_\beta'$$

$$N - \frac{1}{r_c} M_x'' = P_y + \frac{1}{r_c} m_x, \quad -x_s N + M_y - \frac{1}{r_s} M_\beta' - T_{sv} = m_\beta + \frac{1}{r_s} m_\beta' \quad (19)$$

境界条件

$$W_c = C_1 \quad \text{あるいは} \quad N + \frac{M_x}{r_c} = \bar{N} + \frac{\bar{M}_x}{r_c}, \quad u_s = C_2 \quad \text{あるいは} \quad \frac{x_s}{r_c r_s} M_x + \frac{1}{r_s} M_y + \frac{1}{r_s^2} M_\beta + \frac{1}{r_s} T_{sv} = \bar{Q}_x$$

$$V_s = C_3 \quad \text{ " } \quad \frac{1}{r_c} M_x' = \bar{Q}_y, \quad \beta_s = C_4 \quad \text{ " } \quad \frac{1}{r_s} M_\beta' + T_{sv} = \bar{T} \quad (20)$$

$$V_s' = C_5 \quad \text{ " } \quad M_x = \bar{M}_x, \quad u_s' = C_6 \quad \text{ " } \quad \frac{x_s}{r_c} M_x + M_y + \frac{M_\beta}{r_s} = \frac{x_s}{r_c} \bar{M}_x + \bar{M}_y + \frac{\bar{M}_\beta}{r_s}$$

$$\beta_s' = C_7 \quad \text{ " } \quad M_\beta = \bar{M}_\beta$$

ここに $C_1 \sim C_7$ は定数を表す。その他の記号は変位の過程で次のように定義されたものである。

$$N = \int_A \sigma_{\theta\theta} dA, \quad M_x = \int_A \sigma_{\theta\theta} y dA, \quad M_y = \int_A \sigma_{\theta\theta} x dA, \quad M_\beta = \int_A \sigma_{\theta\theta} \Omega dA, \quad Q_x = \int_A \tau_{s\theta} l dA$$

$$Q_y = \int_A \tau_{s\theta} m dA, \quad T = \int_A \tau_{s\theta} p dA, \quad P_x = \int_A P_{\theta d} dA, \quad P_y = \int_A P_{\theta d} dA, \quad P_0 = \int_A P_{\theta d} dA \quad (21)$$

$$m_x = \int_A P_{\theta d} y dA, \quad m_y = \int_A P_{\theta d} x dA, \quad m_\beta = \int_A P_{\theta d} \Omega dA, \quad m_c = \int_A [P_{y d} (x - x_s) - P_{x d} (y - y_s)] dA$$

$$T_{sv} = \frac{\oint \frac{r_s^* n}{(r^*)^2} ds}{(r^*)^2} \oint \tau_{s\theta} \left(\frac{r}{r^*}\right)^2 \frac{ds}{r^*} - \iint_A \tau_{s\theta} \left(2 + \frac{l n}{r^*}\right) \left(1 + \frac{r n}{r^*}\right) n d n ds$$

前断面に対しては T_{sv} の初項は 0 となる。薄肉断面部材を $n \ll r^*$ と考えてよいときには T_{sv} 中の $r/r^* = 1$ と取り、
 又第 2 項は簡略化され $\iint_A 2 \tau_{s\theta} n d n ds$ と表わされる。

4. 力と変位の関係

(16)、(17) 式のむすみに E, G を乗じ (21) 式に代入すると、力と変位の関係が求まる。又 y 座標の原点 C, S 座標の原点 O 、変位の参照点 $S(x_s, y_s)$ は任意の点に選んだが、これらの点を

$$\int_A \frac{x}{r} dA = 0, \quad \int_A \frac{y}{r} dA = 0, \quad \int_A \frac{\Omega}{r} dA = 0, \quad \int_A \frac{\Omega x}{r} dA = 0, \quad \int_A \frac{\Omega y}{r} dA = 0 \quad (22)$$

を満たすように選ぶと、力と変位の関係式が簡単になる。(22) の 1, 2 式は C を定め、3 式は O を、4, 5 式は S を定める。(22) を満たすように座標原点を選んだ時、力-変位関係は次のように表わされる。

$$N = (W_c + V_s - x_s \beta_s) EA / r_c, \quad M_\beta = -(u_s' / r_s^2 + \beta_s' / r_s) EI \Omega / r_c, \quad T_{sv} = (u_s / r_s + \beta_s) GJ / r_c \quad (23)$$

$$M_x = -[(u_s' x_s / r_s + V_s' - W_c) I_x / r_c + (u_s' / r_s - \beta_s) I_{xy}] E / r_c, \quad M_y = [(u_s' x_s / r_s + V_s' - W_c) I_{xy} / r_c + (u_s' / r_s - \beta_s) I_y] E / r_c$$

ここに

$$A = \int_A dA, \quad I_x = r_c \int_A \frac{y^2}{r} dA, \quad I_y = r_c \int_A \frac{x^2}{r} dA, \quad I_{xy} = r_c \int_A \frac{x y}{r} dA, \quad I_\Omega = r_c \int_A \frac{\Omega^2}{r} dA$$

$$n \ll r^* \text{ のとき } J = G r_c \left[\left(\oint \frac{r_s^* n}{(r^*)^2} ds \right)^2 / \left(\oint \frac{ds}{(r^*)^2} \right) - \int_s \frac{n^2}{3r} ds \right] \quad (24)$$

5. 結論

円弧曲線ばりの基礎方程式を導く一つの方法として、変位原理を用い、つり合い式、境界条件、力-変位関係を求めた。仮定としては比較的簡単なもののみを用い、あとは全て数学的な演算にたより、幾何学的な考察を省いた。ここで得られた結果を円断面に適用すると、文献(1)の結果と一致する。又円断面に対するサンパソンのねじり定数は文献(2)の結果と一致する。

6. 文献リスト

- (1) 小西 小松, 「薄肉曲線桁の基礎理論」土木学会論文集 87号, (2) 倉西, 「一般薄肉曲線」の解析, 土木学会論文集 107号
- (3) 渡沢, 「薄肉曲線材の静力学的解析に関する基礎理論」土木学会論文集 110号, (4) 幸口, 中井, 「変形を考慮した曲線材の力学的性状に関する基礎的研究」土木学会半年度学術講演会概要集, 昭和47年